

Virialsatz.

$$\text{Wir hatten } \langle p_i \frac{\partial H}{\partial F_j} \rangle = k_B T \delta_{ij}$$

$$\overbrace{3Nk_B T = \langle T_{K,n} \rangle}$$

3N

$$\text{Mit ob's Notation } \vec{p} = (p_1, p_2, p_3) \dots \text{ folgt } \sum_{i=1}^{3N} \langle p_i \frac{\partial H}{\partial p_i} \rangle + \langle q_i \frac{\partial H}{\partial q_i} \rangle = 6Nk_B T$$

$$\langle q_i F_i \rangle : \vec{F}_i = - \frac{\partial H}{\partial q_i}$$

$$\Rightarrow 3Nk_B T + \sum \langle q_i F_i \rangle = 0 \quad (*)$$

↑ "Clausius-Virial" (mit l. potentielle Energie)

$$\text{Annahme: } F_i = F_i^{\text{WW}} + F_i^{\text{Wand}} \quad \text{Wand} = \{F_i, \text{Paarwechselw.}\} + \{F_i, \text{Wand}\}$$

$$H_{WW} = \frac{1}{2} \sum_{i,j} \varphi(|q_i - q_j|) \quad \text{Paar-WW hängt nur von Relativkoordinate ab: } q_{rel} = q_k - q_l$$

$$\Rightarrow - \sum_{i=1}^{3N} \langle q_i F_i^{\text{WW}} \rangle = \sum_{i=1}^{3N} \left\langle q_i \frac{\partial H_{WW}}{\partial q_i} \right\rangle = \frac{1}{2} \sum_i \sum_{k,l} \left\langle q_i \frac{\partial \varphi(q_{rel})}{\partial q_{rel}} \frac{\partial q_{rel}}{\partial q_i} \right\rangle$$

$$= \frac{1}{2} \sum_{i,k,l} \left\langle q_i \frac{\partial \varphi(q_{rel})}{\partial q_{rel}} (\delta_{ki} - \delta_{li}) \right\rangle = \frac{1}{2} \left\langle \sum_{k,l} (q_k - q_l) \frac{\partial \varphi(q_{rel})}{\partial q_{rel}} \right\rangle$$

$$\text{Wandpotential: } H_{\text{Wand}} = \sum W(q_i)$$

$$\sum_{i=1}^{3N} \left\langle q_i F_i^{\text{Wand}} \right\rangle = \sum_{i,k} \left\langle q_i \frac{\partial W(q_{rel})}{\partial q_i} \right\rangle = \sum_i \left\langle q_i \frac{\partial W(q_i)}{\partial q_i} \right\rangle = \sum_{i=1}^N \left\langle \vec{q}_i \frac{\partial W(\vec{q}_i)}{\partial \vec{q}_i} \right\rangle$$

$$\int d^3 r \delta(\vec{r} - \vec{q}_i) = 1 \quad \int d^3 r \sum_{i=1}^N \left\langle \delta(\vec{r} - \vec{q}_i) \vec{q}_i \frac{\partial W(\vec{q}_i)}{\partial \vec{q}_i} \right\rangle = \int d^3 r \sum_i \delta(\vec{r} - \vec{q}_i) \vec{r} \frac{\partial W(\vec{r})}{\partial \vec{r}}$$

$$\text{Verbleibende Summe } g(\vec{r}) = \sum \left\langle \delta(\vec{r} - \vec{q}_i) \right\rangle = \begin{cases} \text{mittlere Dichte von Teilchen} \\ \text{im Punkt } \vec{r} \end{cases}$$

Mit $-\frac{\partial W}{\partial \vec{r}}$ die Kraft der Wand im Punkt \vec{r} $\Rightarrow d^3 r g(\vec{r}) \frac{\partial W}{\partial \vec{r}} = \text{mittlere Kraft aller Teilchen des Volumenelements } d^3 r \text{ auf Wand, also } g(\vec{r}) \frac{\partial W}{\partial \vec{r}} d^3 r = p d\vec{r}$

$$\Rightarrow - \sum_{i=1}^N \left\langle \vec{q}_i F_i^{\text{Wand}} \right\rangle = \int d^3 r g(\vec{r}) \vec{r} \frac{\partial W}{\partial \vec{r}} = \oint \vec{r} p d\vec{r} = p \oint \vec{r} d\vec{f} = p \int d^3 r \gamma \cdot \vec{r}$$

↓

$$= 3p \int d^3 r = 3pV.$$

$$\Rightarrow \text{aus } (*) \quad 3Nk_B T - \frac{1}{2} \sum_{k,l} \left\langle q_{rel} \frac{\partial \varphi(q_{rel})}{\partial q_{rel}} \right\rangle - 3pV = 0$$

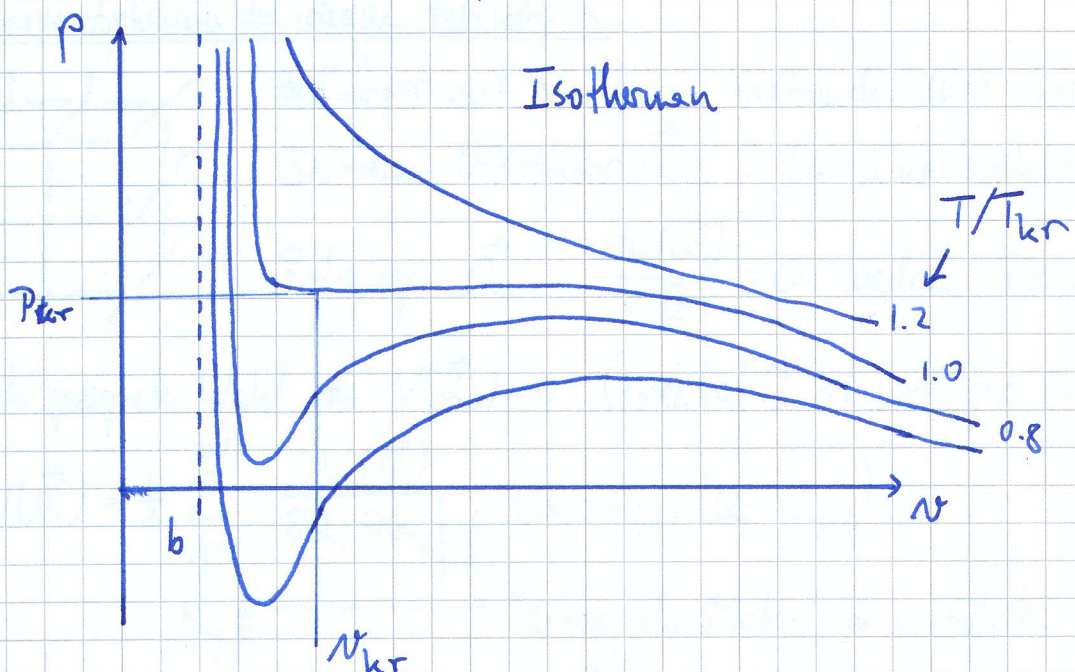
$$\Rightarrow pV = Nk_B T - \frac{1}{6} \sum_{k,l} \left\langle q_{rel} \frac{\partial \varphi(q_{rel})}{\partial q_{rel}} \right\rangle \quad \text{Virialsatz für Paarwechselw.}$$

Mittelwertberuhung ist schwierig. Ohne W_c erhält man das ideale Gas $pV = Nk_B T$ ⁶⁷, ein anderer Spezialfall ist das van-der-Waals-Gas, mit: $p = \frac{1}{N} k_B T / (v - b) - \frac{a}{v^2}$, wobei $v = V/N$.

Exkurs: Das van-der-Waals-Gas: Phasenübergang gas-flüssig

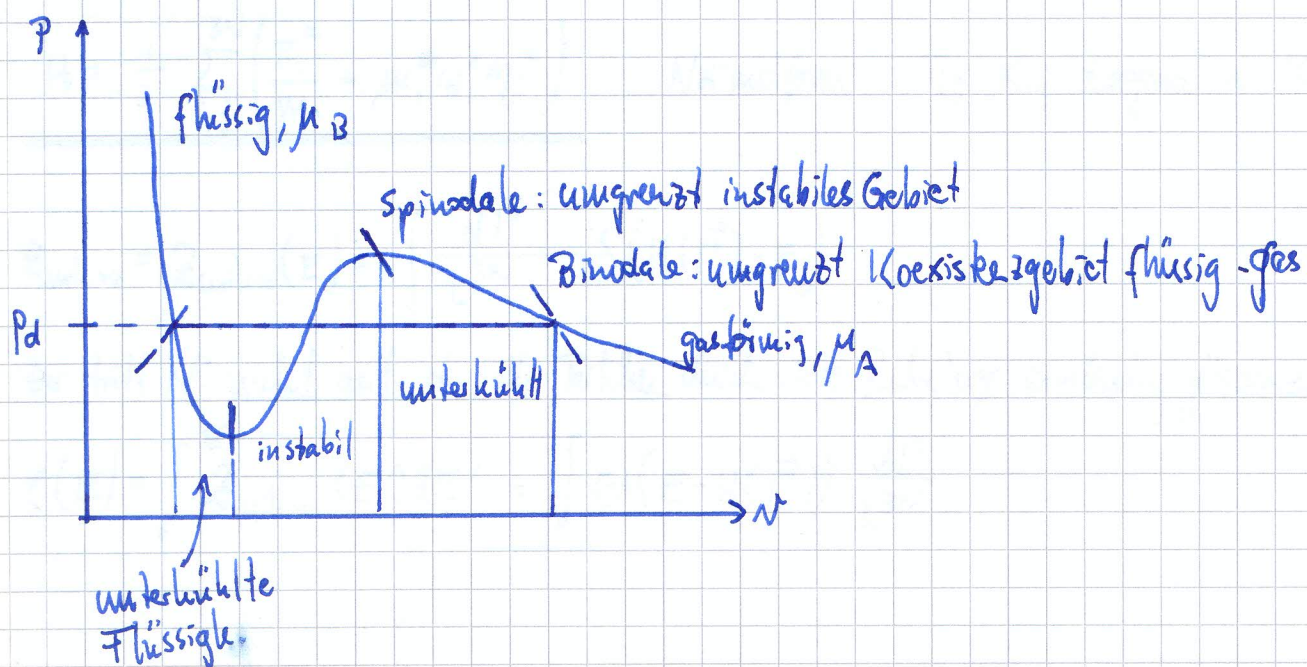
$$p = p(T, v) = \frac{1}{N} k_B T \left(\frac{1}{v - b} - \frac{a}{v^2} \right)$$

attraktiver Teil des W/w (Absehung von p)
Eigenvolumen (verschiebt Singularität bei $v \rightarrow 0$ zu $v \rightarrow b$)



Kritische Isotherme, bei der Max. und Min zusammenfallen: waagrechtes Wendepunkt: p_{ker}, v_{ker}
 $v = v(p)$ kann mehrdeutig (drefach) werden \Rightarrow Phasen?

Maxwellkonstruktion:



mechanische Stabilität \Rightarrow Kompressibilität muss positiv sein:

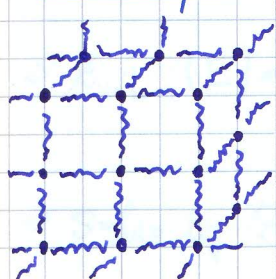
$$\kappa_T = -\frac{1}{V} \left(\frac{\partial V}{\partial p} \right)_T > 0 \Leftrightarrow \left(\frac{\partial P}{\partial V} \right)_T < 0$$

linker Seite: $v_B(T, p)$ & chem. Potentia $\mu_B(T, p) = \mu_B(v_B(T, p), T)$

rechte Seite: $v_A(T, p)$, $\mu_A(T, p) = \mu_A(v_A(T, p), T)$

niedriger Druck \rightarrow Gas $\rightarrow v_A$ beschreibt gasförmigen Zustand

Thermodynamik des idealen Festkörpers:



Festkörper mit N Atomen, verbunden durch harmonische Potentiale
3N-dim Ortsvektor \vec{Q} , 3-dim Impulsvektor \vec{P}

Ruhelage: $\vec{Q}_0 \therefore \frac{\partial V(\vec{Q}_0)}{\partial \vec{Q}_0} = 0$ mechan. Gleichgewicht

Durch geeignete Wahl von $V(\vec{Q}_0) = 0$ (Potential!) ist niedrigste Ordnung um G/qv :

$$V(\vec{Q}) = \frac{1}{2} \sum_{i,j=1}^{3N} \frac{\partial^2 V(\vec{Q})}{\partial Q_i \partial Q_j} \Big|_{\vec{Q}_0} (Q_i - Q_{i,0})(Q_j - Q_{j,0})$$

$K_{ij} \equiv \underbrace{\quad}_{\text{"dynamische Matrix", im einfachsten Fall die Hookesche Konst.}}$

Außerdem $H_{kin} = \sum_{i=1}^N \frac{\vec{P}_i^2}{2m_i} = \frac{1}{2} \sum_{i,j=1}^{3N} P_i T_{ij} P_j \therefore T_{ij} = \{ \text{inverse Massenmatrix} \}$

$$H = H_{kin} + V = \frac{1}{2} \sum_{i,j=1}^{3N} P_i T_{ij} P_j + \frac{1}{2} \sum_{i,j=1}^{3N} \delta Q_i K_{ij} \delta Q_j \therefore \delta Q_i = Q_i - Q_{i,0} \equiv \eta_i \wedge \pi_i = \frac{m_i}{m_i} \eta_i$$

$$H = \frac{1}{2} \sum_{i,j=1}^{3N} \left(\frac{\pi_i^2}{m_i} + \mu_i w_i^2 \eta_i^2 \right)$$

Normalform: T_{ij}, K_{ij} diagonal $\wedge K_{ii} = m_i w_i^2$

$$Z_{\text{mikro}} = Z_{\text{mikro}}(E) = \int \frac{d\Gamma}{h^{3N}} \delta(H(\vec{P}) - E)$$

Hier trifft $N!$ nicht auf, da alle Teilchen durch ihre Ruhelage eindeutig gekennzeichnet.

$$\zeta(E) = \int_0^E Z_{\text{mikro}}(E') dE' = \int \Theta(E - H(\vec{P})) \frac{d\Gamma}{h^{3N}}$$

$$\text{Mit } \vec{r} = (\pi_i, \eta_i) \rightarrow \vec{r}' = (x_i, y_i) \quad x_i = \sqrt{m_i \omega_i^2} \eta_i \text{ und } y_i = \frac{\eta_i}{\sqrt{m_i}}$$

$$\Rightarrow d\Gamma' = d^{3N}x d^{3N}y = \left(\frac{3N}{\pi \omega_i}\right) d^{3N}\pi d^{3N}\eta = (\pi \omega_i) d\Gamma$$

$$\Rightarrow g(E) = \left(\frac{3N}{\pi \omega_i}\right)^{-1} \frac{1}{h^{3N}} \int \Theta(2E - \sum_i (x_i^2 + y_i^2)) d\Gamma'$$

ist Volumen einer $6N$ -dim. Kugel mit Radius $R = \sqrt{E}$: $V_d = \frac{\pi^{d/2}}{\Gamma(d/2+1)} R^d = \frac{\pi^{3N}}{\Gamma(3N+1)} (2E)^{3N}$

$$\Rightarrow g(E) = \left(\frac{3N}{\pi \omega_i}\right)^{-1} \frac{1}{h^{3N}} \frac{\pi^{3N}}{\Gamma(3N+1)} (2E)^{3N} = \frac{1}{\Gamma(3N+1)} \prod_i \left(\frac{E}{h\omega_i}\right)$$

$$\Rightarrow Z_{\text{univ}}(E) = \frac{d g(E)}{d E} = \frac{1}{E \Gamma(3N)} \prod_i^3 \left(\frac{E}{h\omega_i}\right)$$

$$\Rightarrow S = k_B \log Z_{\text{univ}}(E) = k_B \left(\sum_i \left(\log \frac{E}{h\omega_i} \right) - \log E - \log \Gamma(3N) \right)$$

$$\downarrow \text{Stirling } \log \Gamma(z+1) \approx z(\log z - 1) + \frac{1}{2} \log(2\pi z) \neq$$

$$= k_B \left(\sum_i \log \frac{E}{h\omega_i} - \log E - (3N-1)(\log(3N-1) - 1) + \frac{1}{2} \log(2\pi(3N-1)) \right)$$

$$\underline{\underline{N \gg 1}} \quad k_B \left(\sum_i \log \frac{E}{h\omega_i} - \log E - 3N(\log 3N-1) + \frac{1}{2} \log(3N) + \frac{1}{2} \log 2\pi \right) \text{ const.}$$

Gleichgewichtstemperatur des idealen Festkörpers:

$$\frac{1}{T} = \left(\frac{\partial S}{\partial E}\right)_{N,V} = k_B \left(\sum_i \frac{1}{E} - \frac{1}{E} \right) = k_B \frac{3N-1}{E} \approx 3N k_B \cdot \frac{1}{E}$$

$$\Rightarrow \underline{E = 3N k_B T} \text{ analog Gleichverteilungssatz mit } 6N \text{ quadrat. Freiheitsgraden}$$

Gleichgewichtsdruck: $\frac{P}{T} = \left(\frac{\partial S}{\partial V}\right)_{E,N} = 0$ da im Mittel alle Teilchen im G/gw. \Rightarrow kein p.

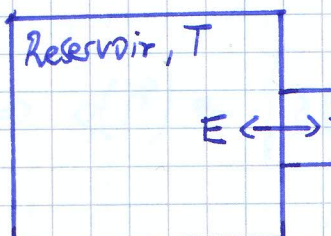
Chem. Potential? I. abg. schwerig, wenn ω_i verschieden, da sich bei Teilchenänderung das Frequenzspektrum verändern kann.

Einschließlich Festkörper: $\omega_i = \omega$ alle ω ; identisch

$$\Rightarrow S = k_B \left(3N \log \frac{E}{\hbar\omega} - \log E - 3N (\log 3N - 1) + \frac{1}{2} \log 3N \right)$$

$$\Rightarrow \frac{\mu}{T} = - \left(\frac{\partial S}{\partial N} \right)_{E,V} = - 3k_B \log \frac{E}{3N\hbar\omega}$$

3. Klassisches Ensemble.



kein Austausch von Teilchen
Teilvolumina konstant.

Ziel mit System S im Gleichgewicht, d.h. Temperatur T fest vorgegeben. E kann ausgetauscht werden. Da Gleichgewicht, sind auch R & S selbst im G/gw.

Für Gesamtsystem R+S gilt:

$$H_{R+S} = H_{R+S}(\vec{P}, \vec{P}_R) = H(\vec{P}) + \underbrace{H_{\text{vv}}(\vec{P}, \vec{P}_R)}_{\text{vernachlässigbar,}} + H_R(\vec{P}_R)$$

bei S lassen wir Index weg
da sowohl R & S gross
 \Rightarrow Wv von Ordnung $N^{2/3}/N \rightarrow 0$

$$\text{Gesamtenergie } E_{R+S} = E + E_R = \text{const.}$$

\rightsquigarrow Gesamtsystem ist mikrokanonische System. Bis auf Normierung ist somit

$$\delta_{R+S}(\vec{P}, \vec{P}_R) \sim \delta(H(\vec{P}) + H_R(\vec{P}_R) - E_{R+S})$$

Information über S interessant: $S(\vec{P}) \sim \int \delta_{R+S}(\vec{P}, \vec{P}_R) \frac{d\vec{P}_R}{h^{3N_R N_R!}}$

$$\sim \int \delta(H(\vec{P}) + H_R(\vec{P}_R) - E) \frac{d\vec{P}_R}{h^{3N_R N_R!}}$$

$$\text{Erweitern mit } 1 = \int \delta(H_R(\vec{P}_R) - E_R) dE_R$$

$$\Rightarrow g(\vec{P}) \sim \int \delta(H(\vec{P}) + H_R(\vec{P}_R) - E_{R+s}) \delta(H_R(\vec{P}_R) - E_R) d\vec{P}_R dE_R$$

$$\sim \int \delta(H(\vec{P}) + E_R - E_{R+s}) dE_R \underbrace{\int \delta(H_R(\vec{P}_R) - E_R) d\vec{P}_R}_{Z_{\text{mikro}, R}(E_R)}$$

$$\sim \int \delta(H(\vec{P}) + E_R - E_{R+s}) Z_{\text{mikro}, R}(E_R) dE_R$$

$$\Rightarrow g(\vec{P}) \sim \int \delta(H(\vec{P}) + E_R - E_{R+s}) \exp\left(\frac{S_R(E_R)}{k_B}\right) dE_R \sim \text{Auswerter von } \delta$$

$$\sim \exp\left(\frac{S_R(E_{R+s} - H(\vec{P}))}{k_B}\right).$$

Reservoir sehr gross angenommen $\sim E_{R+s} \gg H(\vec{P}) \Rightarrow$ Entwicklung von S:

$$S_R(E_{R+s} - H(\vec{P})) = S_R(E_{R+s}) - \frac{\partial S_R(E_{R+s})}{\partial E_{R+s}} H(\vec{P}) + \dots$$

$$\Rightarrow g(\vec{P}) \sim \exp\left(\frac{S_R(E_{R+s})}{k_B} - \frac{1}{k_B} \frac{\partial S_R(E_{R+s})}{\partial E_{R+s}} H(\vec{P})\right)$$

$$\text{Schliesslich ist } E_{R+s} \approx E_R \Rightarrow \frac{\partial S_R(E_{R+s})}{\partial E_{R+s}} = \frac{\partial S_R(E_R)}{\partial E_R} = \frac{1}{T}$$

$$\Rightarrow g(\vec{P}) = \text{const.} \cdot \exp\left(-\frac{H(\vec{P})}{k_B T}\right). \quad \xrightarrow{\vec{P} \text{ des Systems } S} \text{Wahrscheinlichkeitsdichte der Mikrozustände}$$

$$\text{Mit Boltzmann-Faktor } \beta = \frac{1}{k_B T} \text{ ist } g(\vec{P}) = \frac{1}{Z_{\text{kan}}} \exp(-\beta H(\vec{P}))$$

$$\text{mit dem kanonischen Zustandsintegral } Z_{\text{kan}} = \int \exp(-\beta H(\vec{P})) \frac{d\vec{P}}{h^{3N} N!}$$

$$\text{Im QM Fall: } \hat{g} = \frac{1}{Z_{\text{kan}}} \exp(-\beta \hat{H}) \therefore Z_{\text{kan}} = \langle \exp(-\beta \hat{H}) \rangle.$$

3.1. Thermodynamische Zustandsgrößen im kanonischen Ensemble.

Entropie: $S_{\text{kan}} = -k_B \langle \log \hat{S} \rangle$ nach Shannon-Definition. Gleichheit mit fd. Entropie?

$$= -k_B \int S(\vec{\Gamma}) \log S(\vec{\Gamma}) \frac{d\vec{\Gamma}}{h^{3N} N!}$$

$$= -k_B \int \frac{e^{-\beta H}}{Z_{\text{kan}}} \log \left(\frac{e^{-\beta H}}{Z_{\text{kan}}} \right) \frac{d\vec{\Gamma}}{h^{3N} N!} = k_B \int \frac{e^{-\beta H}}{Z_{\text{kan}}} (\beta H + \log Z_{\text{kan}}) \frac{d\vec{\Gamma}}{h^{3N} N!}$$

$$= k_B \beta \int H \frac{e^{-\beta H}}{Z_{\text{kan}}} \frac{d\vec{\Gamma}}{h^{3N} N!} + k_B \log Z_{\text{kan}}$$

QM Fall: $S_{\text{kan}} = -k_B \langle p \hat{g}^* \log \hat{g} \rangle = k_B \beta \langle p \hat{H} \hat{g}^* \rangle + k_B \log Z_{\text{kan}}$

Mit der mittleren Energie des Systems S : $E = \bar{H} = \langle H \rangle = \int \frac{d\vec{\Gamma}}{h^{3N} N!} S(\vec{\Gamma}) H$

bzw. $\langle H \rangle = \langle p \hat{g} \hat{H} \hat{g}^* \rangle$

und wegen $E = -\frac{1}{Z_{\text{kan}}} \frac{\partial}{\partial \beta} \int e^{-\beta H} \frac{d\vec{\Gamma}}{h^{3N} N!} = -\frac{1}{Z_{\text{kan}}} \frac{\partial Z_{\text{kan}}}{\partial \beta} = -\frac{\partial \log Z_{\text{kan}}}{\partial \beta}$

bzw QM: $E = -\frac{1}{Z_{\text{kan}}} \frac{\partial}{\partial \beta} \langle p \hat{e}^{-\beta \hat{H}} \rangle = -\frac{\partial \log Z_{\text{kan}}}{\partial \beta}$

$$\Rightarrow \underline{S_{\text{kan}}} = k_B \beta E + k_B \log Z_{\text{kan}} = \underline{\frac{E}{T}} + k_B \log Z_{\text{kan}} = -\underline{\log \left(\beta \frac{\partial}{\partial \beta} - 1 \right) \log Z_{\text{kan}}}$$

Aus $-k_B T \log Z_{\text{kan}} = E - TS_{\text{kan}}$

definieren wir die Freie Energie F : $F = \underline{E} - TS$

$\Rightarrow F = -k_B T \log Z_{\text{kan}}$

3.2. Anschluss an das mikrokanon. Ensemble: Äquivalenz der Entropie.

Wir betrachten den thermodyn. Limes $N \rightarrow \infty, V \rightarrow \infty \therefore N/V = \text{const.}$

Start: Schwankungen um mittlere Energie $\bar{H} = E = -\partial \log Z_{\text{kan}} / \partial \beta$.

$$\overline{SH^2} = \overline{(\bar{H} - H)^2} = \bar{H}^2 - \bar{H}^2$$

$$\text{und } \bar{H}^2 = \int H^2 \frac{e^{-\beta H}}{Z_{\text{kan}}} \frac{dH}{h^{3N} N!} = \frac{1}{Z_{\text{kan}}} \left(\frac{\partial}{\partial \beta} \right)^2 \int \frac{dH}{h^{3N} N!} e^{-\beta H} = \frac{1}{Z_{\text{kan}}} \frac{\partial^2 Z_{\text{kan}}}{\partial \beta^2}$$

$$\Rightarrow \overline{\delta H^2} = \frac{1}{Z_{\text{kan}}} \frac{\partial^2 Z_{\text{kan}}}{\partial \beta^2} - \left(\frac{\partial \log Z_{\text{kan}}}{\partial \beta} \right)^2 = \frac{\partial}{\partial \beta} \frac{\partial Z_{\text{kan}} / \partial \beta}{Z_{\text{kan}}} = \frac{\partial^2 \log Z_{\text{kan}}}{\partial \beta^2}$$

$$\Rightarrow \underline{\overline{\delta H^2} = - \frac{\partial E}{\partial \beta}}.$$

Schwankeung um Mittelwert: $\frac{\sqrt{\overline{\delta H^2}}}{\bar{H}} = \frac{\sqrt{|\partial E / \partial \beta|}}{E} = \sqrt{\left| \frac{\partial \log E}{\partial \beta} \right|}$

Da $E \sim N$: $\frac{\sqrt{\overline{\delta H^2}}}{\bar{H}} \sim \frac{\sqrt{N}}{N} \sim N^{-1/2} \Rightarrow$ Schwankeung von E wird marginal

\Rightarrow Schale im Phaserraum um $\bar{H} = E$ wird sehr scharf \Rightarrow keine Unterscheidung mehr von Mikrokanon. Fall, wo Schale unendlich scharf $\Rightarrow S_{\text{kan}} = S_{\text{mikro}}$.

3.3. Totales Differential der Freie Energie.

Aus $F = E - TS \Rightarrow dF = dE - TdS - SdT$ und somit mit $dE = TdS - pdV + \mu dN$

$\Rightarrow dF = -SdT - pdV + \mu dN \Rightarrow F = F(T, V, N) \Rightarrow S_{\text{kan}} = S_{\text{kan}}(T, V, N)$:

$$S = -\left(\frac{\partial F}{\partial T}\right)_{V, N}, \quad p = -\left(\frac{\partial F}{\partial V}\right)_{T, N}, \quad \mu = \left(\frac{\partial F}{\partial N}\right)_{T, V}$$

Die vollständige Äquivalenz erfolgt unter Bedingung, dass z.Bsp. im mikrokanon. Fall $S_{\text{mikro}}(E, V, N)$ umgeformt werden kann, so dass $T = T(E, V, N) \Rightarrow$

$S_{\text{kan}}(T, V, N) = S_{\text{kan}}(T(E, V, N), V, N)$ auch von den Zustandsvariablen E, V, N abhängt. Sie natürlichen Zustandsvariablen für F sind aber T, V, N , wie man aus dF erkennt. Siehe später, wenn wir die Legendretransfo besprechen.

$$\text{Ferner ist } E = -\frac{\partial \log Z_{\text{kan}}}{\partial \beta} = -\frac{\partial \log Z_{\text{kan}}}{\partial T} \frac{\partial T}{\partial \beta} = k_B T^2 \frac{\partial \log Z_{\text{kan}}}{\partial T}$$

$$\Rightarrow \underline{\underline{E = -T^2 \left(\frac{\partial (F/T)}{\partial T} \right)_{V, N}}}$$

Wärme Kapazität bei konst. Volumen (isochore Wärmekap.):

$$\underline{C_V = \left(\frac{\partial E}{\partial T}\right)_{V,N}} = -\frac{\partial}{\partial T} \left[T^2 \left(\frac{\partial F/T}{\partial T} \right)_{V,N} \right] = -\frac{\partial}{\partial T} \left[T \left(\frac{\partial F}{\partial T} \right)_{V,N} - F \right]$$

$$= -T \left(\frac{\partial^2 F}{\partial T^2} \right)_{V,N}.$$

oder $C_V = T \left(\frac{\partial S}{\partial T} \right)_{V,N}$.

3.4. Subsysteme. M quasikontinuierliche Subsysteme: $H = \sum_{m=1}^M H_m (\vec{r}_m)$.

$$\vec{r} = \{\vec{r}_1, \vec{r}_2, \dots, \vec{r}_M\} \Rightarrow d\Gamma \rightarrow \prod_{m=1}^M d\Gamma_m \& h^{3N} \rightarrow \prod_{m=1}^M h^{3N_m}$$

Gibbs-Konkurrenzfaktor wird $\prod N_m$!

$$\Rightarrow Z_{\text{kan}} = \int \frac{d\Gamma}{h^{3N} \prod N_m!} e^{-\beta H} = \prod \bar{Z}_m^m : \cdot \bar{Z}_m^m = \int e^{-\beta H_m} \frac{d\Gamma_m}{h^{3N_m} N_m!}$$

→ Gesamte freie Energie $F = \sum F_m$.

$$\text{Analog im QM Fall: } Z_{\text{kan}} = \prod_{a=1}^M \zeta_a^m e^{-\beta \hat{H}_a} = \prod \bar{Z}_a^m$$

3.5. Ideales Gas

Klassischer Fall: keine innere Freiheitsgrade, keine Wechselwirkung

Gas aus M Komponenten, $a=1, 2, \dots, M$ mit N_a Teilchen

$$H(\vec{r}) = \sum_{a=1}^M \sum_{i=1}^{3N_a} \frac{p_{i,a}^2}{2m_a} ; \text{ Faktorisierung von } Z_{\text{kan}} = \prod_{a=1}^M \zeta_a^m$$

$$\text{und } \zeta_a^m = \int \exp \left(-\beta \sum_{i=1}^{3N_a} \frac{p_{i,a}^2}{2m_a} \right) \frac{d\Gamma_a^m}{h^{3N_a} N_a!} = \frac{1}{N_a!} \prod_{i=1}^{3N_a} \Omega_{a,i}^m \text{ sturzkan}(T, V, l)$$

$$\text{mit } \Omega_{a,i}^m(T, V, l) = \int \exp \left(-\sum_{i=1}^3 \frac{p_{i,a}^2}{2m_a} \right) \frac{d\Gamma_{a,ii}}{h^3} \xrightarrow[\text{Teilchen}]{\text{id.}} \int \frac{d^3 p d^3 q}{h^3} \exp \left(-\beta \frac{\vec{p}^2}{2m_a} \right) = \zeta_a^m(T, V)$$

Ortsintegral in $\zeta_a^m(T, V, l)$ liefert Faktor V.

$$\text{Impulsintegral: } \int \frac{d^3 p}{h^3} \exp\left(-\beta \frac{\vec{p}^2}{2m_a}\right) = \frac{1}{h^3} \int_{-\infty}^{\infty} \frac{dp}{h} \exp\left(-\beta \frac{p^2}{2m_a}\right)$$

$$= \sqrt{\frac{2\pi m_a k_B T}{h^2}}$$

$$\text{Thermische Wellenlänge } \lambda_a = \sqrt{\frac{h^2}{2\pi m_a k_B T}}$$

$$\Rightarrow Z_{\text{kern}}^a(T, V, N_a) = \frac{V}{\lambda_a^3}$$

$$\text{aus } Z_{\text{kern}}^a(T, V, N_a) = \frac{V^{N_a}}{N_a! \lambda_a^{3N_a}} \Rightarrow Z_{\text{kern}}(T, V, N_1, \dots, N_M) = \prod_{a=1}^M \frac{V^{N_a}}{N_a! \lambda_a^{3N_a}}$$

$$F = \sum_{a=1}^M F_a = \sum_{a=1}^M -k_B T \ln \left(\frac{V^{N_a}}{N_a! \lambda_a^{3N_a}} \right) \xrightarrow{\text{Stirling}} -k_B T \sum_{a=1}^M N_a \left(\ln \frac{V}{N_a \lambda_a^3} + 1 \right)$$

$$\Rightarrow p = -\left(\frac{\partial F}{\partial V}\right)_{T, N} = \frac{k_B T}{V} \underbrace{\sum_{a=1}^M N_a}_{\equiv N} \Rightarrow \underline{pV = Nk_B T} \text{ unabh. von chemischer Zusammensetzung, da Gleichverteilungssatz nur von } N \text{ abhängt}$$

$$\text{Entropie a. Komponente: } S_a = -\left(\frac{\partial F_a}{\partial T}\right)_{V, N} = k_B N_a \left(\ln \frac{V}{N_a \lambda_a^3} + \frac{5}{2} \right)$$

$$E = -T^2 \left(\frac{\partial (F/T)}{\partial T} \right)_{V, N} = -T^2 \sum_a \left(\frac{\partial (F_a/T)}{\partial T} \right)_{V, N}$$

$$= k_B T^2 \sum_a N_a \frac{3}{2T} = \frac{3}{2} k_B T \sum_a N_a = \frac{3}{2} N k_B T \text{ wie es sein muss.}$$

$$C_V = \left(\frac{\partial E}{\partial T} \right)_{N, N} = \frac{3}{2} N k_B$$

Einzelne Komponenten: Partialdruck $p_a \Leftrightarrow p_a V = N_a k_B T \Leftrightarrow p = \sum_a p_a$

$$E_a = \frac{3}{2} N_a k_B T \Leftrightarrow E = \sum_a E_a$$

$$C_V^a = \frac{3}{2} N_a k_B \Leftrightarrow C_V = \sum_a C_V^a$$

$$\text{chem. Potential: } \mu_a = \left(\frac{\partial F}{\partial N_a} \right)_{T,V} = \left(\frac{\partial \bar{F}_a}{\partial N_a} \right)_{T,V} = -k_B T \log \frac{V}{N_a \lambda_a^3}$$

Mischungsentropie:

tot. freie Energie zweier idealer Gase, die zuerst in Volumina V_a, V_b sind und dann in Gesamtvolume $V = V_a + V_b$ vermischt werden.

$$F_{a+b} = -k_B T \left(N_{a+b} \log \frac{V_{a+b}}{\lambda_{a+b}^3} - \log N_{a+b}! \right) \quad (\text{obiges Erg. ohne Stirlingapprox})$$

$$\Rightarrow \bar{F}_{a+b} = -k_B T \left(N_a \log \frac{V}{\lambda_a^3} - \log N_a! + N_b \log \frac{V}{\lambda_b^3} - \log N_b! \right) \quad (*)$$

$$\Rightarrow \text{Mischungsbeitrag: } \Delta F = \bar{F}_{a+b} - F_a - F_b = k_B T \left(N_a \log \frac{V_a}{V} + N_b \log \frac{V_b}{V} \right)$$

$$\text{Mischungsentropie } \Delta S = -\frac{\partial \Delta F}{\partial T} = k_B \left(N_a \log \frac{V}{V_a} + N_b \log \frac{V}{V_b} \right) > 0 \quad V > V_a, V_b$$

In diesem Fall ist Gibbscher Konzentrationsfaktor nicht nötig. Sind beide Gase ununterschdbar:

$$\bar{F}_{a+b} \stackrel{(*)}{=} -k_B T \left(N \log \frac{V}{\lambda^3} - \log N! \right) \quad \begin{matrix} \text{im Gesamtsystem} \\ \text{sind } N \text{ ununterschdbar.} \\ \text{Teilen.} \end{matrix}$$

$$\Delta F = k_B T \left(N_a \log \frac{V_a}{\lambda_a^3} - \log N_a! + N_b \log \frac{V_b}{\lambda_b^3} - \log N_b! - N \log \frac{V}{\lambda^3} + \log N! \right)$$

$$= k_B T \left(N_a \log V_a + N_b \log V_b - N \log V + \log \frac{N!}{N_a! N_b!} \right)$$

$$= k_B T \left(N_a \log \frac{V_a}{V} + N_b \log \frac{V_b}{V} + \underbrace{N \log N - N_a \log N_a - N_b \log N_b}_{\text{Stirling}} \right)$$

$$= k_B T \left(N_a \log \frac{N V_a}{V N_a} + N_b \log \frac{N V_b}{V N_b} \right)$$

$$= k_B T \left(N_a \log \frac{\bar{n}}{\bar{n}_a} + N_b \log \frac{\bar{n}}{\bar{n}_b} \right) \quad \therefore \text{Teildichten } \bar{n}_a = \frac{N_a}{V_a} \wedge \bar{n}_b = \frac{N_b}{V_b} \text{ wr} \\ \text{Mischung } \Rightarrow \bar{n} = N/V \text{ nach Mischung}$$

Gleiche Dichten $\Rightarrow \bar{n} = \bar{n}_a = \bar{n}_b \Rightarrow \Delta S = \Delta F = 0$.

Verschiedene Dichten: $\bar{n} \neq \bar{n}_a \neq \bar{n}_b \Rightarrow \Delta S > 0$.

Chemische Potential zweikomponentiger Mischungen. Komponente a, b mit N_a, N_b

$$\text{Freie Energie: } F(T, V, N_a, N_b) \approx -k_B T N_a \left(\log \frac{V}{N_a \lambda_a^3} + 1 \right) - k_B T N_b \left(\log \frac{V}{N_b \lambda_b^3} + 1 \right)$$

$$\text{Chem. Pot. der Komponente a: } \mu_a = - \left(\frac{\partial F}{\partial N_a} \right)_{T, V} = k_B T \log \left(\frac{N_a}{V} \lambda_a^3 \right) = k_B T \log \left(\frac{N \lambda_a^3}{V} \frac{N - N_b}{N} \right)$$

$$= k_B T \log \left(\frac{N \lambda_a^3}{V} \right) + k_B T \log \left(1 - \frac{N_b}{N} \right)$$

$N_b \ll N$

$$\xrightarrow{\substack{\text{Erg., wenn } N_b = 0 \\ \text{Konkavität}}} \underbrace{k_B T \log \left(\frac{N \lambda_a^3}{V} \right)}_{\text{Konzentration Komponente b}} - \underbrace{k_B T \frac{N_b}{N}}_{\text{Konzentration Komponente b}}$$

Erg., wenn $N_b = 0$ Konkavität

$$\mu_a \equiv \mu_a^{(0)} - k_B T C_b \quad \text{Konzentration Komponente b}$$

$$\mu_b = k_B T \log \left(\frac{\lambda_b^3 N}{V} \frac{N_b}{N} \right) = k_B T \log \left(\frac{\lambda_b^3 N}{V} \right) + k_B T \log C_b = \mu_b^{(0)} + k_B T \log C_b$$

3.6. Ideales zweiatomiges Gas Rotations- & Schwingungsfreiheitsgrade

Unabhängigkeit des Freiheitsgrades: $\hat{\nu}_{\text{kin}} = \hat{\nu}_{\text{trans}} + \hat{\nu}_{\text{rot}} + \hat{\nu}_{\text{osc}} \Rightarrow F = F_{\text{trans}} + F_{\text{rot}} + F_{\text{osc}}$

Rotationsanteil: nur eine nicht verschwindende Komponente

der Trägheitsmomente: für Rotation haben wir $\hat{H}_{\text{rot}} = \hat{L}^2 / (2\Theta)$

\uparrow Drehimpulsop. \uparrow Trägheitsmoment

$$\Rightarrow \hat{H}_{\text{rot}} = \sum_i^N \frac{\hat{L}_i^2}{2\Theta} = \sum_i \hat{H}_{i,\text{rot}}$$

$$\begin{aligned} \hat{Z}_{\text{kin}}^{\text{rot}} &= \{ p \exp[-\beta \hat{H}_{\text{rot}}] \} = c \delta p \exp(-\beta \sum_i \hat{H}_{i,\text{rot}}) \xrightarrow{\substack{\text{Unabh. der} \\ \text{Moleküle}}} \prod_i^N c \delta p \exp(-\beta \hat{H}_{i,\text{rot}}) \\ &= (c \delta p \exp(-\beta \hat{H}_{i,\text{rot}}))^N \end{aligned}$$

\uparrow Nebengradient! \uparrow Magnetquantenzahl!

Sprachbildung: bewohnte Eigenzustände von \hat{L} : $|l, m\rangle \therefore l = 0, 1, 2, \dots, \infty, m = -l, \dots, l$

$$\hat{L} |l, m\rangle = \hbar^2 l(l+1) |l, m\rangle \text{ und jeder EW } \hbar^2 l(l+1) \text{ ist } (2l+1)-\text{fach entartet}$$

$$\Rightarrow Z_{\text{kan}}^{\text{rot},1} = \sum_{l,m} \exp\left(-\frac{\beta \hat{L}^2}{2\theta}\right) = \sum_{l,m} \langle l,m | \exp\left(-\frac{\beta \hat{L}^2}{2\theta}\right) | m,l \rangle \quad \text{für ein Molekül}$$

$$= \sum_{l,m} \langle l,m | \exp\left(-\frac{\beta \hat{h}^2 l(l+1)}{2\theta}\right) | m,l \rangle = \sum_{l,m} \exp\left(-\frac{\beta \hat{h}^2 l(l+1)}{2\theta}\right)$$

$$= \sum_{l=0}^{\infty} (2l+1) \exp\left(-\frac{\beta \hat{h}^2 l(l+1)}{2\theta}\right) \quad \circ$$

Höhe Temperaturen: $\beta^{-1} = k_B T \gg \frac{\hbar^2}{2\theta}$ erwarten klassischer Ergebnis

Ist $x_L - x_0$ ein Intervall, das zu L Segmente der Länge Δx unterteilt ist: Eukl.-McLauch-sche

Formel: $\sum_{l=0}^{L-1} f(x) = \int_{x_0}^{x_L} f(x) dx + \frac{\Delta x}{2} (f(x_0) + f(x_L)) + \sum_{j=1}^{\infty} \frac{B_{2j}}{(2j)!} (\Delta x)^{2j} \left(f^{(2j-1)}(x_0) - f^{(2j-1)}(x_L) \right)$

B_n : Bernoulli-Zahlen. Wähle $f(x) = (2x+1) \exp\left(-\frac{x(x+1)}{\tau}\right) \therefore \tau = \frac{2\theta k_B T}{\hbar^2}$, $x_0=0$, $x_L=\infty$
und $\Delta x = 1$ (also $x_L = l$): $f(x_0) = f(0) = 1$ & $f(x_L) = f(\infty) = 0$

$$f(x) = (2x+1) \exp\left\{-\frac{x(x+1)}{\tau}\right\}$$

$f^{(1)}(0) = 0$ wegen Exponentialfunktion $\exp(...)$

$$f^{(1)}(0) = \frac{d f(x)}{dx} \Big|_{x=0} = 2 \exp\left(\dots\right) - \frac{2x+1}{\tau} (2x+1) \Big|_{x=0} = 2 - \frac{1}{\tau}$$

$$f^{(2)}(0) = \dots = -\frac{12}{\tau} + \frac{12}{\tau^2} - \frac{1}{\tau^3}$$

Insges.: $Z_{\text{kan}}^{\text{rot},1} = \int_0^{\infty} (2x+1) \exp\left(-\frac{x(x+1)}{\tau}\right) dx + \frac{1}{2} + \frac{B_2}{2!} f^{(1)}(0) + \frac{B_4}{4!} f^{(3)}(0) + \dots$

$$\frac{B_2}{2!} = -\frac{1}{6} \quad \int_0^{\infty} (2x+1) \exp\left(-\frac{x(x+1)}{\tau}\right) dx + \frac{1}{3} + \frac{1}{15\tau} + \dots$$

$$\int_0^{\infty} (2x+1) \exp\left(-\frac{x(x+1)}{\tau}\right) dx \stackrel{y=x(x+1)}{=} \int_0^{\infty} \exp\left(-\frac{y}{\tau}\right) dy = \tau$$

$$\Downarrow \tau + \frac{1}{3} + \frac{1}{15\tau} + \dots$$

Was würde man klassisch erwarten?

Zwei Massepunkte mit $m_1 = m_2 = m$ und Koordinaten $\vec{r}_1 = a\vec{e}_r ; \vec{r}_2 = -a\vec{e}_r$
Wenn Abstand 8w. Abstand = $2a$.

In Kugelkoord. folgt für Geschwindigkeit: $\dot{\vec{r}}_1 = a\dot{\vec{e}}_r = a(\dot{\theta}\vec{e}_x + \sin\theta\dot{\varphi}\vec{e}_y) \wedge \dot{\vec{r}}_2 = -\dot{\vec{r}}_1$

$$\Rightarrow T = \frac{m}{2}(\dot{\vec{r}}_1^2 + \dot{\vec{r}}_2^2) = ma^2(\dot{\theta}^2 + \sin^2\theta\dot{\varphi}^2) = L \text{ Lagrangefkt. (keine pot. Energie)}$$

$$\Rightarrow \text{kan. konj. Impuls: } p_N = \frac{\partial L}{\partial \dot{\theta}} = 2ma^2\dot{\theta}; \quad p_\varphi = \frac{\partial L}{\partial \dot{\varphi}} = 2ma^2 \sin^2\theta \dot{\varphi}$$

$$\Rightarrow T = \frac{1}{4ma^2} \left(p_N^2 + \frac{p_\varphi^2}{\sin^2\theta} \right) = \frac{1}{2\theta} \left(p_N^2 + \frac{p_\varphi^2}{\sin^2\theta} \right)$$

$$\Rightarrow Z_{\text{kan, klass}}^{\text{rot}, 1} = \int \frac{dN d\theta dp_N dp_\varphi}{h^2} \exp(-\beta T) = \frac{1}{h^2} \frac{2\pi\theta}{\beta} \int_0^\pi \int_0^{2\pi} dN d\theta \sin\theta$$

$$= \frac{2\pi\theta}{\beta h^2} 2\pi = \frac{2\theta}{\beta h^2} = \tau \text{ im Limes } \tau \rightarrow \infty \text{ identisch mit QM Erg.}$$

Tief Temperatur: $\beta \gg \tau \rightarrow$ nur erste Terme in Summe für $Z_{\text{kan}}^{\text{rot}, 1}$, Gl. ①

$$Z_{\text{kan}}^{\text{rot}, 1} = 1 + 3 \exp\left(-\frac{t^2}{\theta k_B T}\right) = 1 + 3 \exp\left(-\frac{2}{\tau}\right)$$

$$\Rightarrow F_{\text{rot}} = -k_B T \ln Z_{\text{kan}}^{\text{rot}, 1}$$

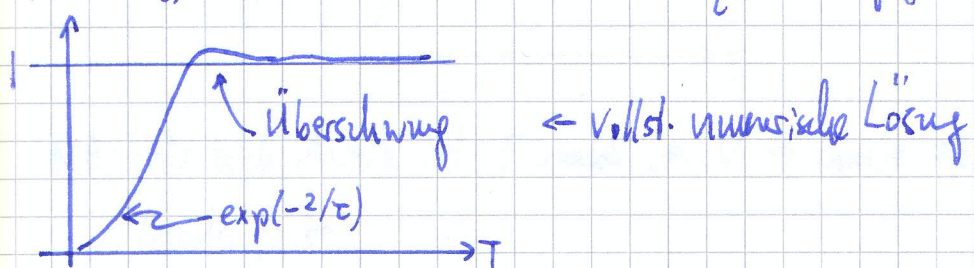
$$\Rightarrow \underline{\text{Innere Energi: }} E_{\text{rot}} = k_B N T^2 \frac{\partial \ln Z_{\text{kan}}^{\text{rot}, 1}}{\partial T}$$

$$T \text{ hoch: } E_{\text{rot}} = k_B N T \left(1 - \frac{1}{3\tau} - \frac{1}{45\tau^2} + \dots \right)$$

$$T \text{ niedrig: } E_{\text{rot}} = \frac{6N k_B T}{\tau} \exp\left(-\frac{2}{\tau}\right) = \frac{3N t^2}{\theta} \exp\left(-\frac{2}{\tau}\right)$$

$$\text{Wärmekapazität: } T \text{ hoch } C_{V,\text{rot}} = k_B N \left(1 + \frac{1}{45\tau^2} + \dots \right)$$

$$C_{V,\text{rot}} / (N k_B) \quad T \text{ niedrig } C_{V,\text{rot}} = \frac{12 N k_B}{\tau^2} \exp\left(-\frac{2}{\tau}\right) \xrightarrow{T \rightarrow 0} 0$$



Schwingungsanteil: Unabh. \Rightarrow Faktorisierung $Z_{\text{Schw.}}^{\text{OSZ}} = (Z_{\text{Schw.}}^{\text{OSZ},1})^N$

93

und $Z_{\text{Schw.}}^{\text{OSZ},1} = \sum_{n=0}^{\infty} \exp\left(-\beta \hbar \omega \left(n + \frac{1}{2}\right)\right)$ für Oszillatorenzustand: $\hat{H} = \frac{\hat{p}^2}{2m} + \frac{m \omega^2 \hat{x}^2}{2}$

$$= \frac{\exp(-\beta \hbar \omega / 2)}{1 - \exp(-\beta \hbar \omega)}$$

Höhe Temp.: $\tau = \frac{k_B T}{\hbar \omega} \gg 1: Z_{\text{Schw.}}^{\text{OSZ},1} = \tau \left(1 - \frac{1}{24 \tau^2} + \dots\right)$

Klassisch: $Z_{\text{Schw.}}^{\text{OSZ},1} = \int \frac{dx dp}{h} \exp\left(-\beta \left[\frac{p^2}{2m} + \frac{m \omega^2 x^2}{2}\right]\right) = \dots = \frac{k_B T}{\hbar \omega} = \tau \quad \checkmark$

Tiefe Temp.: $\tau \rightarrow 0$

$$Z_{\text{Schw.}}^{\text{OSZ},1} = \exp\left(-\frac{\beta \hbar \omega}{2}\right) \left(1 + \exp(-\beta \hbar \omega)\right) = e^{-\frac{1}{2\tau}} \left(1 + e^{-1/\tau}\right)$$

$$F_{\text{OSZ}} = -k_B T N \ln Z_{\text{Schw.}}^{\text{OSZ},1}$$

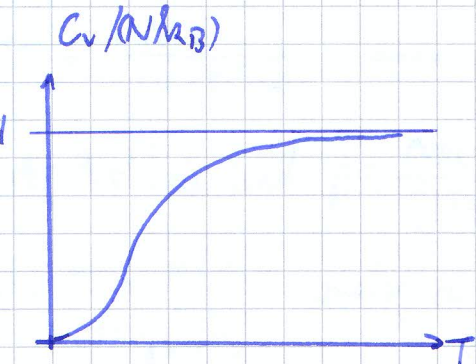
$$E_{\text{OSZ}} = -T^2 \frac{\partial (F_{\text{OSZ}}/T)}{\partial T} = k_B N T \left(\frac{\beta \hbar \omega}{2} + \frac{\beta \hbar \omega \exp(-\beta \hbar \omega)}{1 - \exp(-\beta \hbar \omega)} \right) = N \hbar \omega \left(\frac{1}{2} + \frac{1}{e^{1/\tau} - 1} \right)$$

$$\xrightarrow{T \rightarrow \infty} N \hbar \omega \left(\frac{1}{2} + \tau \right)$$

$$\xrightarrow{\tau \rightarrow 0} N \hbar \omega \left(\frac{1}{2} + e^{-1/\tau} \right)$$

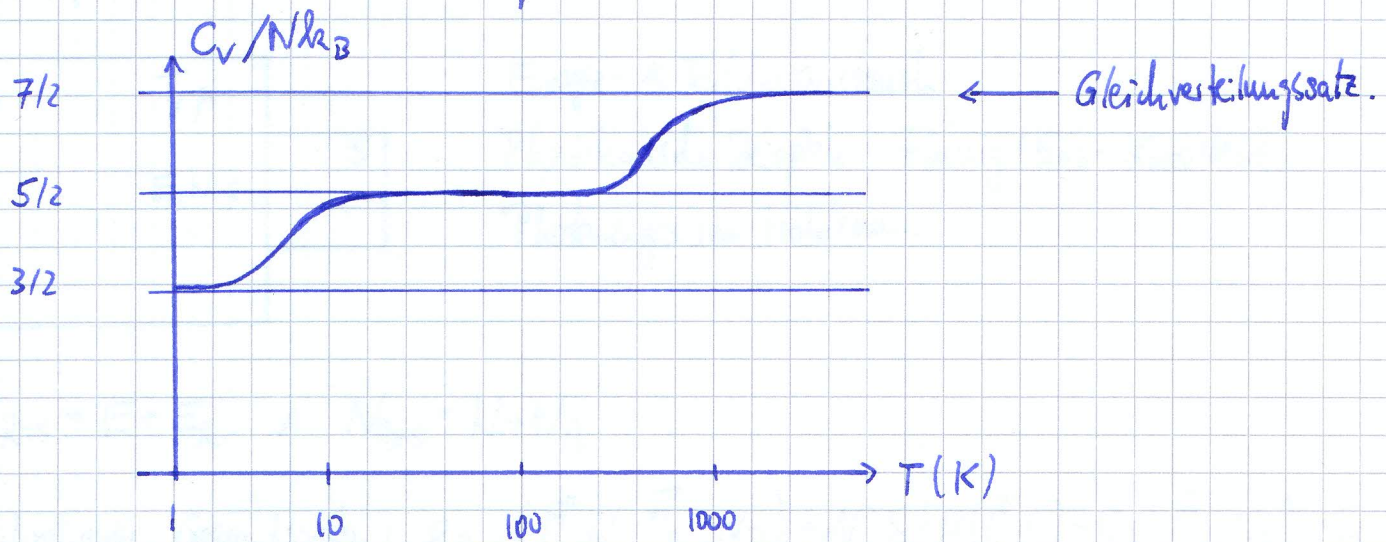
$$C_{V, \text{OSZ}} = \left(\frac{\partial E_{\text{OSZ}}}{\partial T} \right)_{V,N} = \frac{N k_B}{\tau^2} \frac{e^{1/\tau}}{(e^{1/\tau} - 1)^2} \xrightarrow{\tau \rightarrow \infty} N k_B$$

$$\xrightarrow{\tau \rightarrow 0} \frac{N k_B}{\tau^2} e^{-1/\tau}$$



NB: Für beide Anteile ist F unabh. von $V \Rightarrow$ innere Freiheitsgrade tragen nicht zum Druck p bei.

Gas diatomares Molekül: alle Beiträge



3.7. Zweizustandsystem: N Atome im Makrozustand $M = (T, N)$ mit $H = \varepsilon \sum_{i=1}^N n_i$

Mikrozustand $\mu \equiv \{n_i\}$

$$p(\{n_i\}) = \frac{1}{Z_{\text{kan}}} \exp\left(-\beta \varepsilon \sum_{i=1}^N n_i\right)$$

$$Z_{\text{kan}} = \sum_{\{\{n_i\}\}} \exp\left(-\beta \varepsilon \sum n_i\right) = \left(\sum_{n_1=0}^1 e^{-\beta \varepsilon n_1} \right) \left(\sum_{n_2=0}^1 e^{-\beta \varepsilon n_2} \right) \dots \left(\sum_{n_N=0}^1 e^{-\beta \varepsilon n_N} \right)$$

alle mögl. Kombinationen
mit $n_1 = 0, 1, n_2 = 0, 1, \dots$

$$\downarrow (1 + e^{-\beta \varepsilon})^N = Z_{\text{kan}}(T, N)$$

$$\Rightarrow F = -k_B T \ln Z_{\text{kan}} = -N k_B T \ln \left(1 + e^{-\varepsilon/(k_B T)} \right)$$

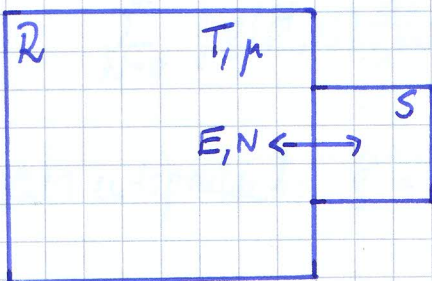
$$\Rightarrow S = -\left(\frac{\partial F}{\partial T}\right)_N = \underbrace{N k_B \ln \left(1 + e^{-\varepsilon/(k_B T)} \right)}_{-F/T} + N k_B T \left(\frac{\varepsilon}{k_B T^2} \right) \frac{e^{-\varepsilon/(k_B T)}}{1 + e^{-\varepsilon/(k_B T)}}$$

$$E = F + TS = \frac{N \varepsilon}{1 + e^{\varepsilon/(k_B T)}} = -\frac{\partial \ln Z_{\text{kan}}}{\partial \beta} \quad \text{analog unibindnahr. Rechnung.}$$

$$\text{Aus Unabh. der Zustände und } p = \frac{\exp(-\sum \beta \varepsilon n_i)}{(1 + e^{-\beta \varepsilon})^N} = \prod p_i$$

$$\Rightarrow p_i(n_i) = \frac{\exp(-\beta \varepsilon n_i)}{1 + \exp(-\beta \varepsilon)} \quad \text{analog zu mikrozkan. Resultat}$$

4. Das großkanonische Ensemble.



Energie- & Teilchenaustausch

Physikalische Beispiele: Flüssig/Gas-Koexistenten,
Photonengas im Hohlraum

$$E_{R+S} = E + E_R \quad \wedge \quad N_{R+S} = N + N_R$$

$$\text{Mikroskop. Gesamtsystem: } g_{R+S}(\vec{P}, N; \vec{P}_R, N_R) = N \delta(H(\vec{P}, N) + H_R(\vec{P}_R, N_R) - E_{R+S})$$

$$\text{Sei } N \text{ fest: } g(\vec{P}, N) = N \int g_{R+S}(\vec{P}, N; \vec{P}_R, N_R) \frac{d\Gamma_R}{h^{3N_R} N_R!} = \tilde{N} \int d\Gamma_R \delta(H(\vec{P}, N) + H_R(\vec{P}_R, N_R) - E)$$

$$\text{Erweitern mit: } 1 = \int \delta(H_R(\vec{P}_R, N_R) - E_R) dE_R$$

$$\Rightarrow g(\vec{P}, N) = N \int \delta(H(\vec{P}, N) + E_R - E_{R+S}) dE_R \times \int \delta(H_R(\vec{P}_R, N_R) - E_R) d\Gamma_R$$

$$= N \int \delta(H(\vec{P}, N) + E_R - E_{R+S}) Z_R^{\text{mikro}}(E_R, N_R) dE_R$$

$$S_R = k_B \log Z_R \xrightarrow{\text{zurück}} N \int \delta(H(\vec{P}, N) + E_R - E_{R+S}) \exp\left(\frac{S_R(E_R, N_R)}{k_B}\right) dE_R$$

$$= N \exp\left(\frac{S_R(E_{R+S} - H(\vec{P}, N), N_{R+S} - N)}{k_B}\right).$$

NB: Für verschiedene Mikrosysteme ist hier i. allg. die Dimension des Phaserraumes verschieden!

Sei: $N \ll N_R \quad \& \quad H(\vec{P}) \ll E_R \Rightarrow \text{Entwicklung um } E_{R+S}, N_{R+S}$

$$\begin{aligned} \Rightarrow g(\vec{P}, N) &= N \exp\left(\frac{S_R(E_{R+S}, N_{R+S})}{k_B}\right) - \frac{1}{k_B} \frac{\partial S_R(E_{R+S}, N_{R+S})}{\partial E_{R+S}} H(\vec{P}) - \frac{1}{k_B} \frac{\partial S_R(E_{R+S}, N_{R+S})}{\partial N_{R+S}} N \\ &= \tilde{N} \exp\left(-\frac{1}{k_B} \frac{\partial S_R(E_R, N_R)}{\partial E_R} H(\vec{P}) - \frac{1}{k_B} \frac{\partial S_R(E_R, N_R)}{\partial N_R} N\right) \end{aligned}$$

$$\underline{g(\vec{P}, N) = \tilde{N} \exp(-\beta [H(\vec{P}) + \mu N])}$$

$$\text{oder } \underline{g(\vec{P}, N) = \frac{1}{Z_{\text{gross}}} \exp(-\beta [H(\vec{P}) + \mu N])}$$

Grosskanonische Normierung:

$$\sum_{N=0}^{\infty} \int g(\vec{P}, N) \frac{d\vec{P}}{h^{3N} N!} \stackrel{!}{=} 1 \rightarrow Z_{\text{gross}} = \sum_{N=0}^{\infty} \left[\exp(-\beta [H(\vec{P}) + \mu N]) \right] \frac{d\vec{P}}{h^{3N} N!}$$

QM entspricht: $\beta = \frac{1}{k_B T}$ $\exp(-\beta [\hat{H} + \mu \hat{N}])$: \hat{N} = Teilchenzahl/Operator

$$Z_{\text{gross}} = \text{Sp} \exp(-\beta [\hat{H} + \mu \hat{N}]).$$

$$\text{Entropie: } S = -k_B \langle \log g \rangle = k_B \log Z_{\text{gross}} + \frac{1}{T} \bar{H} - \frac{\mu}{T} \bar{N} = k_B \log Z_{\text{gross}} + \frac{E}{T} + \frac{\mu N}{T}$$

thermodyn. E (innere Energie)

& N (Teilchenzahl) des Makrozustands

Grosser thermodyn. Potential $Q = E - TS + \mu N = -k_B T \log Z_{\text{gross}}$.

$$Q = Q(T, V, \mu).$$

Unabhängige Teilchen: Wechselwirkungsfreie Teilchen \Rightarrow Einzelbeiträge $H = \sum_{i=1}^N H_i$

$$\sim Z_{\text{gross}} = \sum_{N=0}^{\infty} Z_{\text{kan}}(T, V, N) \exp\left(\frac{\mu N}{k_B T}\right) \text{ und } Z_{\text{kan}}(T, V, N) = \frac{1}{N!} [Z_{\text{kan}}(T, V, 1)]^N$$

$$= \sum_{N=0}^{\infty} \frac{1}{N!} [Z_{\text{kan}}(T, V, 1)]^N \exp(\beta \mu N) = \exp\left(Z_{\text{kan}}(T, V, 1) e^{\beta \mu}\right)$$

$$Z_{\text{gross}} = \exp(z \cdot Z_{\text{kan}}(T, V, 1)), \quad z = e^{\beta \mu} \text{ ist die "Fugazität"}$$

Transformationen zwischen verschiedenen Ensembles

$$\text{Betrachte } Z_{\text{kan}}(T, V, N) = \int e^{-\beta H(\vec{P})} \frac{d\vec{P}}{h^{3N} N!} = \int_0^{\infty} dE e^{-\beta E} \int \delta(H(\vec{P}) - E) \frac{d\vec{P}}{h^{3N} N!}$$

$$= \int_0^{\infty} dE e^{-\beta E} Z_{\text{univ}}(E, V, N) \equiv \text{d} \left\{ Z_{\text{univ}}(E, V, N); E \rightarrow \beta \right\}$$

Laplacetransformation

$$\text{Ähnlich ist } Z_{\text{gross}}(T, V, \mu) = \sum_{N=0}^{\infty} e^{\beta \mu N} Z_{\text{kan}}(T, V, N) \text{ eine "discrete Laplace transform"}$$

Gibbssches Ensemble:

$$Z_{\text{Gibbs}}(T, p, N) = \int_{-\infty}^{\infty} e^{-\beta p V} Z_{\text{kan}}(T, V, N) dV \quad \text{für System, das } E \text{ und } V \text{ austauscht}$$

Gleiche Herleitung wie grosskanonisch, nur dass $\frac{\partial S}{\partial N}$ ersetzt wird durch $\frac{\partial S}{\partial V} = \frac{p}{T}$

$$\Rightarrow Z_{\text{Gibbs}} = \int dV \int \frac{dP}{h^{3N} N!} \exp(-\beta H(\vec{P}) - \beta p V)$$

$$\underline{g(\vec{P}, V) = \frac{1}{Z_{\text{Gibbs}}} \exp(-\beta H(\vec{P}) - \beta p V)} \quad Z_{\text{Gibbs}} = Z_{\text{Gibbs}}(T, p, N)$$

thermodyn.

$$\text{Entropie: } S = -k_B \langle \log g \rangle = k_B \log Z_{\text{Gibbs}} + \frac{H}{T} + \frac{pV}{T} = \underbrace{k_B \log Z_{\text{Gibbs}}}_{\text{thermodyn.}} + \frac{E}{T} + \frac{pV}{T}$$

$$\underline{G_f = G(T, p, N) = E + pV - TS = -k_B T \log Z_{\text{Gibbs}}} \quad \text{Gibbsche Freie Enthalpie}$$

4.1. Extensive & intensive Größen.

Vereine m mikrokanonische Systeme zu einem Gesamtsystem: $E \rightarrow mE; V \rightarrow mV; N \rightarrow mN$

Sadditiv: $S \rightarrow mS \Rightarrow$ Homogenitätsrelation: $\underline{S(mE, mV, mN) = mS(E, V, N)}$.

In kanonischen Ensemble: $F(T, mV, mN) = mF(T, V, N)$

Grosses Potential: $\Omega(T, mV, \mu) = m\Omega(T, V, \mu) \wedge$ Gibbs: $G(T, p, mN) = mG(T, p, N)$

Allg. Homogenitätsrelation vom Grad γ : $f(\lambda^{x_1} x_1, \lambda^{x_2} x_2, \lambda^{x_3} x_3, \dots) = \lambda^\gamma f(x_1, x_2, x_3, \dots)$

Thermodynamisch: $\gamma = 1$ extensive Größe; $\gamma = 0$ intensiv

Betrachte $S(\lambda E, \lambda V, \lambda N) = \lambda S(E, V, N)$.

Mit $\lambda = 1 + \varepsilon, \varepsilon \ll 1 \rightsquigarrow (1 + \varepsilon) S(u, v, n) = S((1 + \varepsilon) E, (1 + \varepsilon) V, (1 + \varepsilon) N)$

$$\rightsquigarrow S + \varepsilon S = S + \left(\frac{\partial S}{\partial E}\right)_{V, N} \varepsilon E + \left(\frac{\partial S}{\partial V}\right)_{E, N} \varepsilon V + \left(\frac{\partial S}{\partial N}\right)_{E, V} \varepsilon N$$

$$\Rightarrow \text{in 1. Ordnung } S = \frac{E}{T} + \frac{pV}{T} - \frac{\mu N}{T} \Rightarrow \underline{E = TS - pV + \mu N} \quad \text{Euler-Gleichung}$$

mit $Q = E - TS - \mu N = -pV \Rightarrow pV = k_B T \log Z_{\text{gross}}$ Zustandsgleichung

$$dE = TdS + SdT - pdV - Vdp + \mu dN + Ndp$$

$$\text{Ausscheiden } dE = TdS + SdT - pdV - Vdp + \mu dN + Ndp \Rightarrow \underline{SdT - Vdp + Ndm = 0}$$

Gibbs-Duhem-Relation